

## 石油コンビナートの防災アセスメント指針（抄）

## 参考資料2 災害現象解析モデルの一例

## 4. 火災・爆発モデル

## (1) 液面火災

## ア. 火炎の放射熱

火炎から任意の相対位置にある面が受ける放射熱は次式で与えられる。

$$E = \phi \epsilon \sigma T^4 \quad \text{----- (式 A2.13)}$$

ただし、

E : 放射熱強度(J/m<sup>2</sup>s)

T : 火炎温度(K)

$\sigma$  : ステファン・ボルツマン定数(5.6703×10<sup>-8</sup>J/m<sup>2</sup>sK<sup>4</sup>)

$\epsilon$  : 放射率

$\phi$  : 形態係数(0.0~1.0の無次元数)

実用上は、燃焼液体が同じであれば火炎温度と放射率は変わらないと仮定し、 $R_f = \epsilon \sigma T^4$ (J/m<sup>2</sup>s)とおいて次式で計算される。

$$E = \phi R_f \quad \text{----- (式 A2.14)}$$

ここで  $R_f$  は放射発散度と呼ばれ、主な可燃性液体については表 A2.3 に示すような値をとる。なお、放射熱の単位は慣習的に kcal/m<sup>2</sup>h が用いられることが多いため、以下では両方の単位を併せて示す。

表 A2.3 主な可燃性液体の放射発散度(参考文献 7)

可燃性液体	放射発散度	可燃性液体	放射発散度
カフジ原油	41×10 <sup>3</sup> (35×10 <sup>3</sup> )	メタノール	9.8×10 <sup>3</sup> (8.4×10 <sup>3</sup> )
ガリンナフ	58×10 <sup>3</sup> (50×10 <sup>3</sup> )	エタノール	12×10 <sup>3</sup> (10×10 <sup>3</sup> )
灯油	50×10 <sup>3</sup> (48×10 <sup>3</sup> )	LNG(炒)	76×10 <sup>3</sup> (65×10 <sup>3</sup> )
軽油	42×10 <sup>3</sup> (36×10 <sup>3</sup> )	エチレン	134×10 <sup>3</sup> (115×10 <sup>3</sup> )
重油	23×10 <sup>3</sup> (20×10 <sup>3</sup> )	プロパン	74×10 <sup>3</sup> (64×10 <sup>3</sup> )
ベンゼン	62×10 <sup>3</sup> (53×10 <sup>3</sup> )	プロピレン	73×10 <sup>3</sup> (53×10 <sup>3</sup> )
n-ヘキサン	85×10 <sup>3</sup> (73×10 <sup>3</sup> )	n-ブタン	83×10 <sup>3</sup> (71×10 <sup>3</sup> )

(単位は J/m<sup>2</sup>s、括弧内は kcal/m<sup>2</sup>h)

イ. 形態係数

①円筒形火炎の形態係数

円筒形の火炎を想定し、図 A2.2 に示すように受熱面が火炎底面と同じ高さにある受熱面を考えたとき、形態係数は次式により与えられる。また、受熱面が火炎底面と異なる高さにある場合の形態係数の計算は図 A2.3 による。

$$\phi = \frac{1}{\pi n} \tan^{-1} \left( \frac{m}{\sqrt{n^2 - 1}} \right) + \frac{m}{\pi} \left[ \frac{(A - 2n)}{n\sqrt{AB}} \tan^{-1} \left( \sqrt{\frac{A(n-1)}{B(n+1)}} \right) - \frac{1}{n} \tan^{-1} \left( \sqrt{\frac{(n-1)}{(n+1)}} \right) \right] \quad \text{————— (式 A2.15)}$$

$$A = (1+n)^2 + m^2$$

$$B = (1-n)^2 + m^2$$

$$m = H/R$$

$$n = L/R$$

ただし、

H : 火炎高さ

R : 火炎底面半径

L : 火炎底面の中心から受熱面までの距離

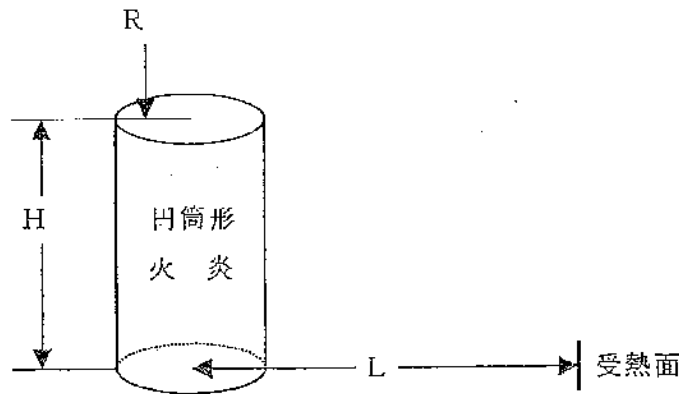


図 A2.2 円筒形火炎と受熱面の位置関係

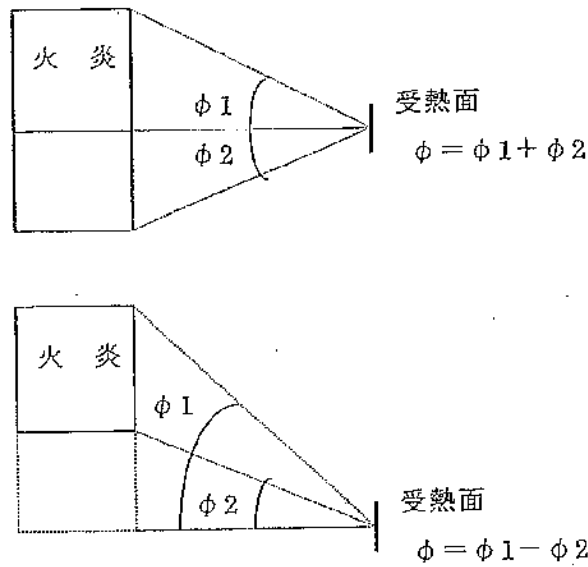


図 A2.3 受熱面の高さによる形態係数の計算例

②直方体火炎の形態係数

直方体の火炎を想定したときの形態係数は、図 A2.4 に示すような受熱面の位置に対して次式により与えられる。

$$\phi = \frac{1}{2\pi} \left[ \frac{X}{\sqrt{X^2 + 1}} \tan^{-1} \left( \frac{Y}{\sqrt{X^2 + 1}} \right) + \frac{Y}{\sqrt{Y^2 + 1}} \tan^{-1} \left( \frac{X}{\sqrt{Y^2 + 1}} \right) \right]$$

(式 A2.16)

$$X = H/L$$

$$Y = W/L$$

ただし、

H：火炎高さ

W：火炎前面幅

L：火炎前面から受熱面までの距離

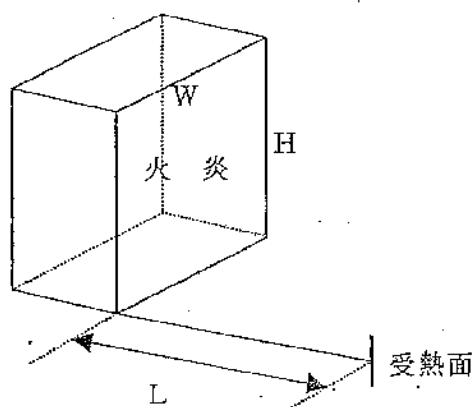


図 A2.4 直方体火炎と受熱面の位置関係

ウ. 火炎の想定

液面火災による放射熱を計算するためには火炎の形状を決める必要があり、一般に次のような想定がよく用いられる。

① 流出火災

可燃性液体が小さな開口部から流出し、直後に着火して火炎となるような場合には、火災面積は次式で表わされる。

$$S = \frac{q_L}{V_B} \quad \text{----- (式 A2.17)}$$

ただし、

S : 火災面積(m<sup>2</sup>)

q<sub>L</sub> : 液体の流出率(m<sup>3</sup>/s)

V<sub>B</sub> : 液体の燃焼速度(液面降下速度, m/s)

燃焼速度は、可燃性液体によって固有の値をとり、主な液体については表 A2.5 に示すとおりである。

流出火災については、式 A2.17 で得られる火災面積と同面積の底面をもち、高さが底面半径の 3 倍(m=H/R=3)の円筒形火炎を想定して放射熱の計算を行う。

表 A2.4 主な可燃性液体の燃焼速度(参考文献 7)

可燃性液体	燃焼速度	可燃性液体	燃焼速度
カフジ原油	$0.52 \times 10^{-4}$	メタノール	$0.28 \times 10^{-4}$
ガリンナサ	$0.80 \times 10^{-4}$	エタノール	$0.33 \times 10^{-4}$
灯油	$0.78 \times 10^{-4}$	LNG(メタン)	$1.7 \times 10^{-4}$
軽油	$0.55 \times 10^{-4}$	エチレン	$2.1 \times 10^{-4}$
重油	$0.28 \times 10^{-4}$	プロパン	$1.4 \times 10^{-4}$
ベンゼン	$1.0 \times 10^{-4}$	プロピレン	$1.3 \times 10^{-4}$
n-ヘキサン	$1.2 \times 10^{-4}$	n-ブタン	$1.5 \times 10^{-4}$

(液面降下速度, m/s)

### ②タンク火災

可燃性液体を貯蔵した円筒形タンクの屋根全面で火災となった場合には、タンク屋根と同面積の底面をもち、高さが底面半径の3倍( $m=H/R=3$ )の円筒形火炎を想定して放射熱の計算を行う。

### ③ダイク火災

可燃性液体が流出し防油堤や仕切堤などの囲いの全面で火災となった場合、囲いが正方形に近い形状のときには、囲いと同面積の底面をもち、高さが底面半径の3倍( $m=H/R=3$ )の円筒形火炎を想定する。また、囲いが扁平な長方形の場合には、直方体の火炎を想定して放射熱を計算する。そのとき、火炎高さは火災前面幅の1.5倍とする。

## エ. 火炎の規模による放射発散度の低減

液面火災では、火災面積(円筒底面)の直径が10mを超えると、空気供給の不足により大量の黒煙が発生し放射発散度が低減する。したがって、このことを考慮せずに上記の手法で放射熱を計算すると、火災規模が大きいときにはかなりの過大評価となる。

実験により得られた火炎直径と放射発散度との関係を図A2.5及び図A2.6に示す。図A2.6によると、火炎直径が10mになると放射発散度の低減率は約0.6、20mで約0.4、30mで約0.3となることがわかる。ただし、火炎直径が大きいものについては実験データがないため、低減率は0.3を下限とする。

なお、LNGについては、火炎直径が20mになっても放射発散度の低減はみられないという実験結果が得られている。

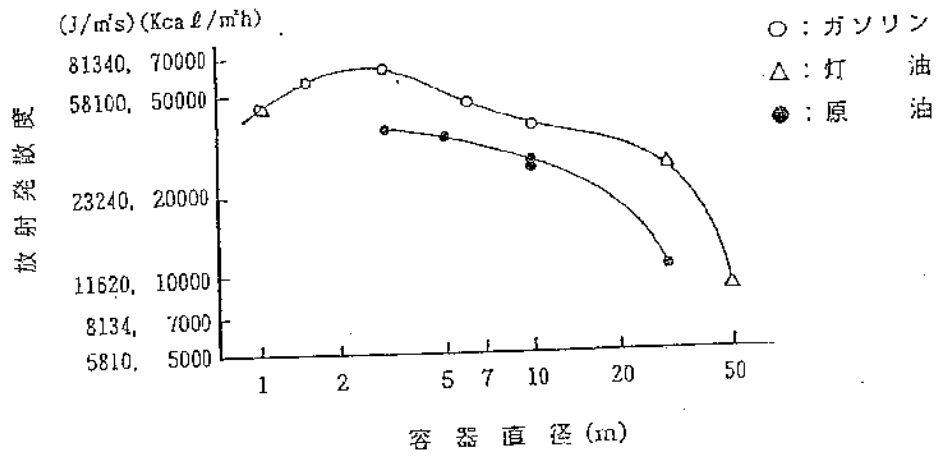


図 A2.5 火炎直径と放射発散度との関係(参考文献 8)

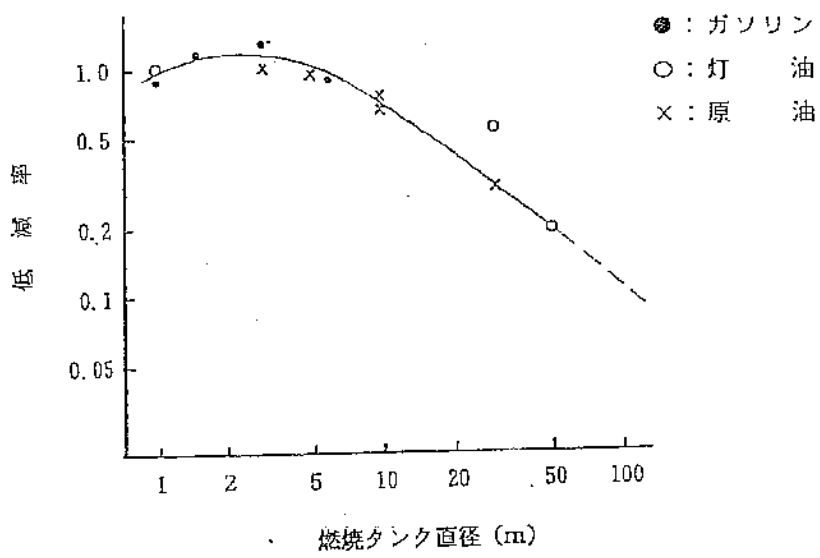


図 A2.6 火炎直径と放射発散度の低減率との関係(参考文献 9)